



МИНОБРНАУКИ РОССИИ

Федеральное государственное бюджетное образовательное учреждение
высшего образования
«МИРЭА – Российский технологический университет»

РТУ МИРЭА

Институт информационных технологий (ИИТ)
Кафедра информационных технологий в атомной энергетике (ИТАЭ)

ОТЧЕТ ПО ВЫПОЛНЕНИЮ КОМПЛЕКСНОЙ ЗАДАЧИ
по дисциплине «Моделирование безопасности компьютерных систем»

Вариант: 6

Студент группы

ИКБО-50-23 Павлов Н.С.

(подпись)

Доцент

Баричев С.Г.

(подпись)

Москва 2025 г.

СОДЕРЖАНИЕ

1. ПОСТАНОВКА ЗАДАЧИ	3
2 ВЫПОЛНЕНИЕ РАБОТЫ	4
2.1 Расчет эффективности подсистемы обнаружения ошибок P_{Y_1}	4
2.2 Расчет эффективности подсистемы аутентификации	7
2.3 Расчет эффективности антивирусной защиты	8
2.4 Расчет эффективности всей подсистемы защиты против одиночного и группового воздействия	10
2.5 Исследование зависимости эффективности всей подсистемы защиты против одиночного и группового воздействия при изменении параметра(v_2)	11

1. ПОСТАНОВКА ЗАДАЧИ

Автоматизированная система управления объекта ядерной энергетики включает трехуровневую подсистему защиты с тремя звеньями на каждом уровне.

У1. Защита от воздействия ошибочных команд управления.

Угроза: ошибочно сформированная команда, не обнаруживаемая декодером.

Средство защиты: подсистема обнаружения ошибок

Последствие: возможность манипуляции с системой защиты

Показатель защищенности: Вероятность обнаружения ошибки – P_{Y1}

У2. Модуль аутентификации пользователя по паролю

Угроза: подбор пароля (автоматизированный подбор пароля)

Средство защиты: подсистема аутентификации

Последствие: возможность запуска компьютерного вируса

Показатель защищенности: Вероятность НЕподбора пароля – P_{Y2}

У3. Воздействие компьютерной эпидемии (сценарий пандемии без карантина)

Угроза: заражение и выход из строя компьютеров

Средство защиты: антивирусная подсистема

Последствие: дезорганизация системы управления объектом ядерной энергетики

Показатель защищенности: Доля незараженных компьютеров – P_{Y3}

Задание:

1. Рассчитать вероятность нарушения системы защиты при одиночном и групповом воздействии

2. Исследовать зависимость эффективности системы защиты против одиночного и группового воздействия при изменении одного из параметров элемента защиты (у каждого варианта – свой параметр и свой диапазон для исследований)

2 ВЫПОЛНЕНИЕ РАБОТЫ

Для расчета защищенности системы и последующего исследования ее зависимости от параметров системы исследуем эффективность защиты каждого из трех уровней: P_{Y1} , P_{Y2} , P_{Y3}

2.1 Расчет эффективности подсистемы обнаружения ошибок P_{Y1}

Для защиты АСУ от ошибок в подсистеме защиты предусмотрены декодеры ошибок на каждом из трех входящих каналов управления на основе линейных помехоустойчивых кодов.

Каждый из них задается своей порождающей матрицей, которая и определяет эффективность конкретного звена P_{Y1}^i , которая рассчитывается как вероятность обнаружения ошибки данным декодером (их три).

Вероятность обнаружения ошибки определяется формулой

$$P_{\text{обн}} = 1 - (A_1 p q^{n-1} + A_2 p^2 q^{n-2} + A_3 p^3 q^{n-3} + \dots + A_n p^n)$$

где

- p – вероятность одиночной ошибки,
- $q = 1 - p$
- n – длина кодового вектора
- A_i – спектральный коэффициент

Исходные данные:

Декодер канала-1:

(9,4)-код с порождающей матрицей:

G	1	0	0	0	0	0	1	1	0
	0	1	0	0	1	1	0	0	1
	0	0	1	0	1	0	1	1	0
	0	0	0	1	1	1	0	1	1

Рисунок 1 – Порождающая матрица

$$p = 0,0106$$

Декодер канала-2:

(9,5)-код с порождающей матрицей

G	1	0	0	0	0	0	1	1	0
	0	1	0	0	1	1	0	0	1
	0	0	1	0	1	0	1	1	0
	0	0	0	1	1	1	0	1	1
	0	0	0	0	1	1	1	0	1

Рисунок 2 – Порождающая матрица

$$p = 0,0206$$

Декодер канала-3:

(9,3)-код с порождающей матрицей

G	1	0	0	0	0	0	1	1	0
	0	1	0	0	1	1	0	0	1
	0	0	1	0	1	0	1	1	0

Рисунок 3 – Порождающая матрица

$$p = 0,106$$

Результаты расчета:

- $P_{YI}^1 = 0,999997$
- $P_{YI}^2 = 0,999219$
- $P_{YI}^3 = 0,999998$

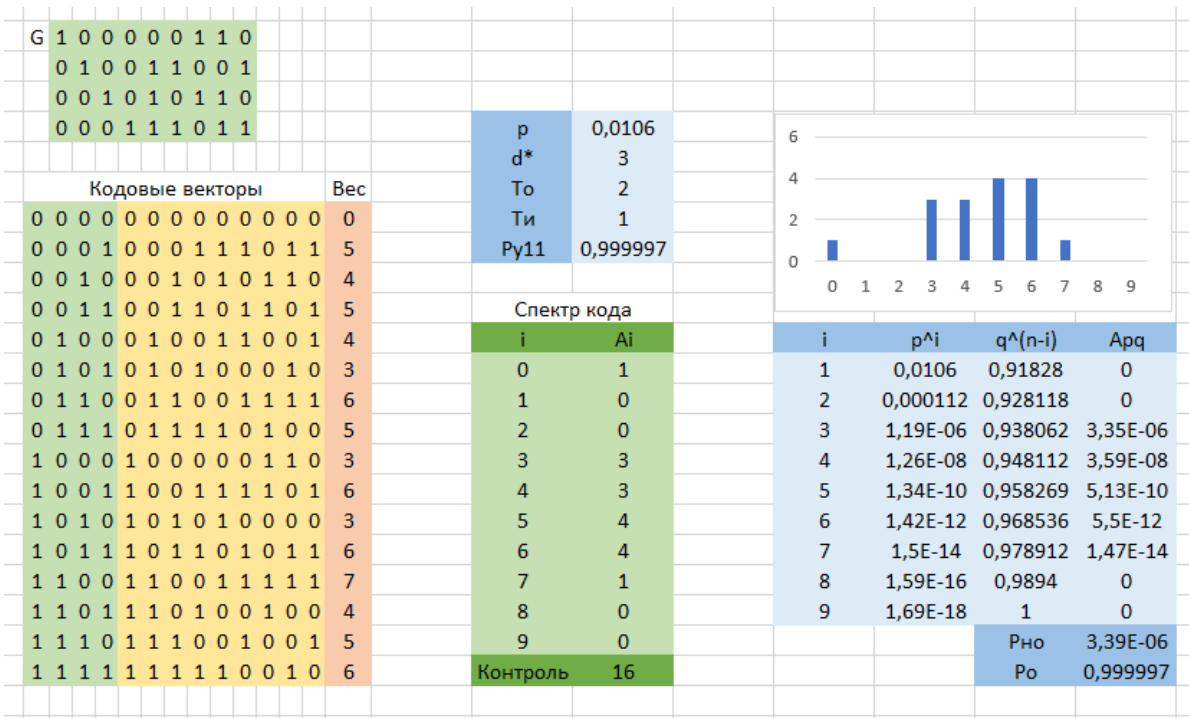


Рисунок 4 – Расчет эффективности декодера канала-1

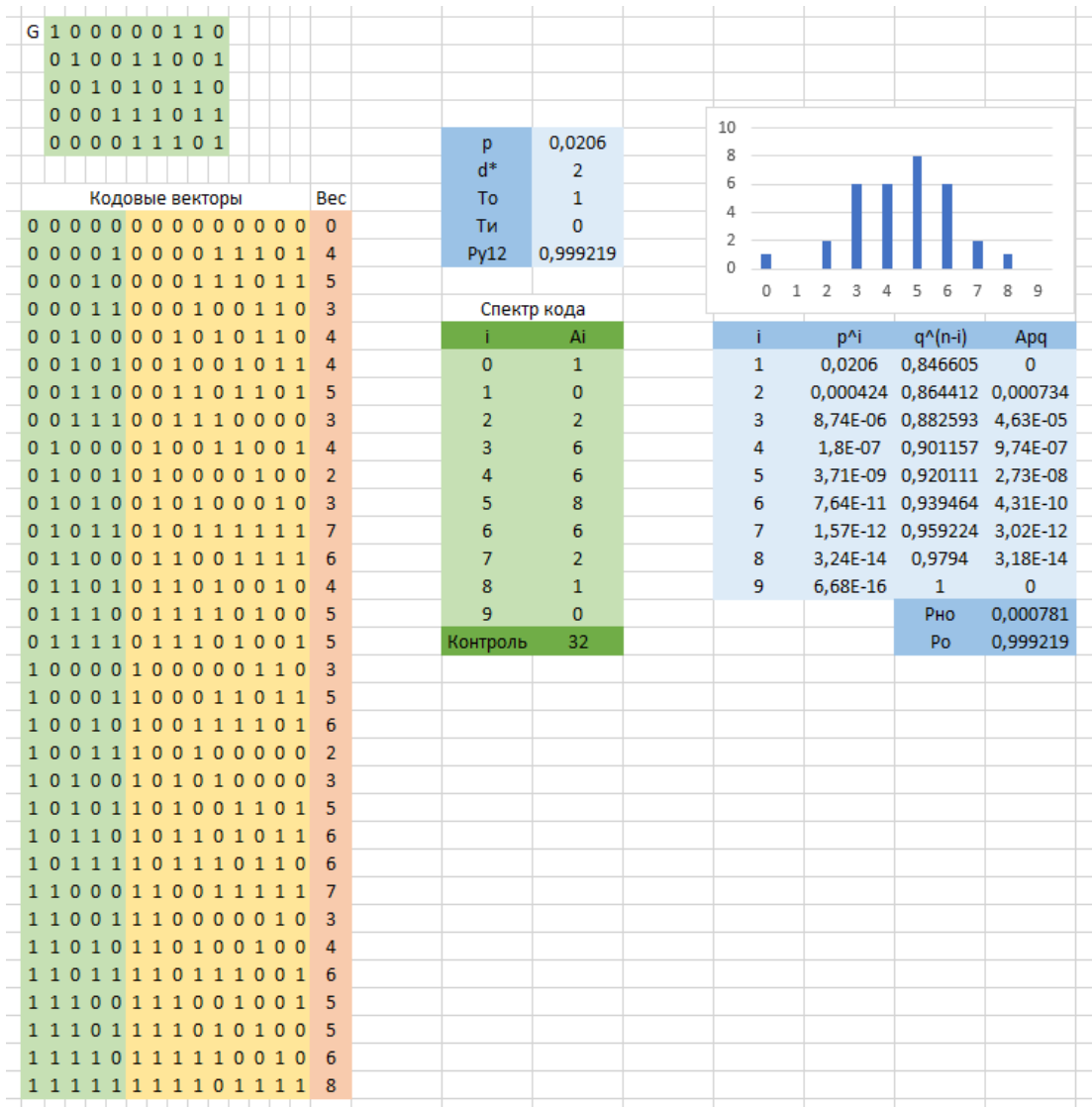


Рисунок 5 – Расчет эффективности декодера канала-2

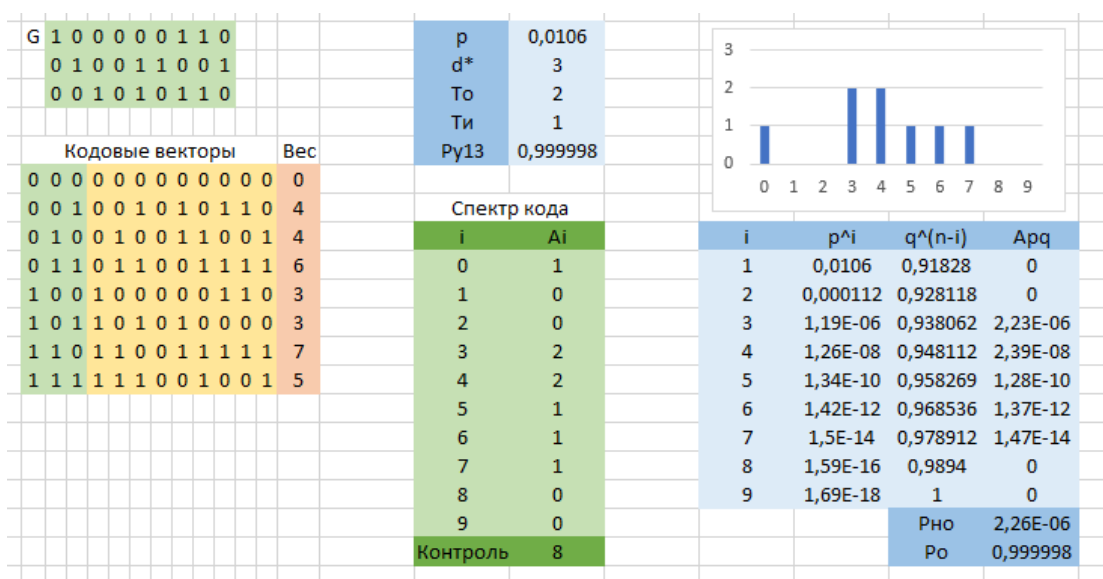


Рисунок 6 – Расчет эффективности декодера канала-3

2.2 Расчет эффективности подсистемы аутентификации

Эффективность подсистемы аутентификации определяется вероятностью неподбора пароля, необходимого для преодоления этого уровня защиты. В заданной системе действуют три средства аутентификации, преодоление путем побора пароля любого из них означает преодоление всего уровня.

Вероятность p подбора ключа длиной L из алфавита объемом M с n попыток определяется по формуле:

$$p = n / M^L$$

У злоумышленника есть возможность перебирать пароли автоматизированным образом в течение времени t (с) со скоростью v (паролей/с). Тогда

$$p = vt / M^L$$

Если p , вычисленный согласно этой формуле, равен числу больше единицы, то принимается $p = 1$ (гарантированный подбор)

Тогда эффективность каждого i -го средства аутентификации определяется как:

$$P_{y2}^i = 1 - v_i t / M_i^{L_i}$$

Параметры M_i , L_i , v_i , t для трех средств аутентификации заданы (в таблице на рис.7). Результаты расчета эффективности средств аутентификации представлены на рис.7:

№ средства аутентификации	M_i	L_i	v_i	t	P_{y2}^i
1	128	9	1548	19144	1
2	64	7	2950	19144	0,999987
3	68	11	1575	19144	1

Рисунок 7 – Результаты расчета P_{y2}^i

2.3 Расчет эффективности антивирусной защиты

Третий уровень защиты образуют средства антивирусной защиты. Показателем эффективности антивирусной защиты является доля незараженных компьютеров (в интервале от 0 до 1) через время T после начала заражения, которое становится возможным с преодолением уровня аутентификации.

В нашем случае используется модель пандемии без карантина и иммунизации. Вероятность заражения компьютера в следующий момент модельного времени зависит от числа уже зараженных компьютеров, вероятности заражения при контакте, а также связности сети.

Предполагается, что противник запускает три разных компьютерных вирусов, от которых система защиты имеет разную эффективность.

Для каждого из вирусов расчет эффективности делается исходя из следующей модели.

Пусть имеются исходные данные:

- N_0 – начальное количество зараженных узлов (20, 2, 10)
- K_c – коэффициент связности сети (4, 7, 5)
- P_3 – вероятность заражения при контакте узлов на одном шаге (0.2, 0.17, 0.28)
- N – общее число узлов сети (900, 680, 460)
- T – время действия эпидемии (4)

Обозначим:

- N_i^E – число зараженных узлов на i -м шаге
- N_i^S – число «здоровых» узлов на i -м шаге

Очевидно, что

$$N_i^E + N_i^S = N$$

Тогда динамика эпидемии будет определяться следующей моделью:

$$N_i^E = N_{i-1}^E + N_{i-1}^E * K_c * P_3 * (N_{i-1}^S / N)$$

Используя эту модель проведем исследование динамики эпидемии каждого из трех вирусов.

Важно:

- 1) сумма второго и третьего столбца должна быть всегда равна N
- 2) количество больных и зараженных компьютеров округляются до целого
- 3) если количество здоровых компьютеров становится отрицательным, то с этого момента времени оно принимается за ноль (полное заражение сети).

По результатам исследования рассчитывается эффективность защиты против каждого из вирусов:

$$P_{y3} = (N_{I0}^3 / N)$$

Результаты расчета:

- $P_{y3}^1 = 0,79209$
- $P_{y3}^2 = 0,93431$
- $P_{y3}^3 = 0,45791$

		i	Nіб	Nіз
Общее количество	900			
Начальное заражение	20	0	20	880
Связность	4	1	36	864
Вер-ть заражени	0,2	2	63	837
Py31	0,79209	3	110	790
		4	187	713
Общее количество	680	i	Nіб	Nіз
Начальное заражение	2	0	2	678
Связность	7	1	4	676
Вер-ть заражени	0,17	2	10	670
Py32	0,93431	3	21	659
		4	45	635
Общее количество	460	i	Nіб	Nіз
Начальное заражение	10	0	10	450
Связность	5	1	24	436
Вер-ть заражени	0,28	2	55	405
Py33	0,45791	3	123	337
		4	249	211

Рисунок 8 – Результаты расчета P_{y3}^i

2.4 Расчет эффективности всей подсистемы защиты против одиночного и группового воздействия

Групповой нарушитель (воздействие) – нарушитель, имеющий возможность атаковать все звенья одного уровня одновременно.

Защищенность многоуровневой системы (вероятность непреодоления нарушителем/угрозой всех уровней защиты) определяется формулой:

$$P_C = 1 - (1 - P_{Y1})(1 - P_{Y2})(1 - P_{Y3}),$$

где P_{Yi} – защищенность i -го многозвенного уровня.

Защищенность многозвенного уровня определяется формулами:

а) для одиночного нарушителя:

$$P_o = \min(P_{Yi}^1, P_{Yi}^2, P_{Yi}^3),$$

где P_{Yi}^j – защищенность j -го звена i -го уровня, рассчитанная выше.

б) для группового нарушителя:

$$P_g = P_{Yi}^1 * P_{Yi}^2 * P_{Yi}^3.$$

Для всей системы проверкой служит факт того, что защищенность системы от группового нарушителя должна быть меньше защищенности системы от одиночного нарушителя.

Результаты расчета эффективности всей системы против одиночного и группового воздействия приведены в таблице:

	Звено 1	Звено 2	Звено 3	Ро	Рг
Уровень 1	0,999997	0,999219	0,999998	0,999219062	0,99921342
Уровень 2	1	0,999987	1	0,999987159	0,999987159
Уровень 3	0,792087	0,93431	0,457909	0,457908589	0,338877246
Эффективность общая				0,999999995	0,999999993

Рисунок 9 – Таблица итоговых расчетов

2.5 Исследование зависимости эффективности всей подсистемы защиты против одиночного и группового воздействия при изменении параметра(v_2)

На основе созданных выше моделей можно провести исследование зависимости показателей P_o P_g , подставляя в модель разные исходные данные. Результаты исследования приведены в таблице:

Исследуемый параметр v_2	P_o	P_g
2950	0,999999994563945	0,999999993322405
3000	0,999999994471808	0,999999993209225
3050	0,999999994379671	0,999999993096046
3100	0,999999994287535	0,999999992982866
3150	0,999999994195398	0,999999992869687

Рисунок 10 – Таблица исследования параметра v_2

На основе полученных данных можно построить график:

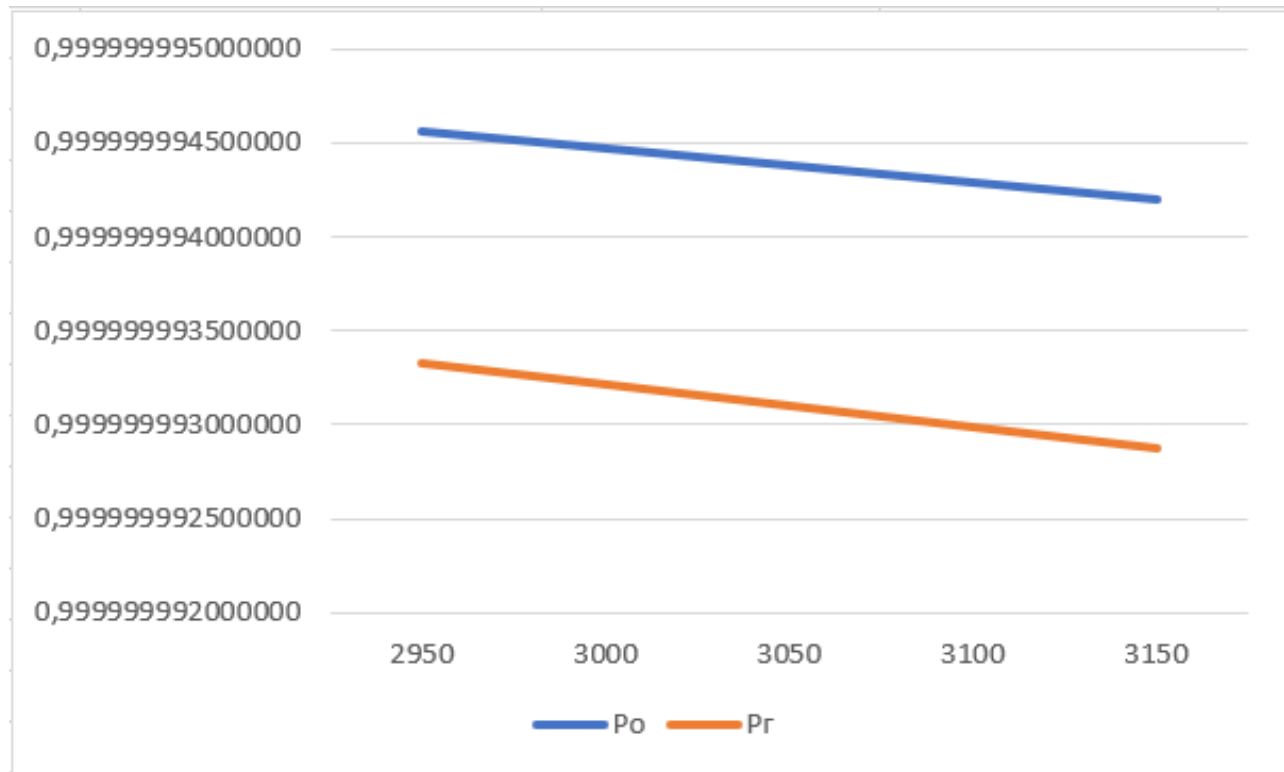


Рисунок 11 – График изменения значений

Вывод:

Изменение параметра защиты (v_2) уменьшает незначительно эффективность защиты.